

群馬県 庁 正員 林 賢司
群馬大学 正員 小葉竹重機

1. まえがき： 山腹の表層崩壊に中間流が大きく関与していることは疑いがたい。とくに1つの斜面中でも微地形の凹地では水が集まり易く、中間流の水深上昇は急激となり、このような場所が必ず崩壊可ることが予想される。本報告は1つの斜面中のこのような微地形の谷地を対象として、中間流水深と崩壊の長さ、幅との関係などについて考察を行ったものである。

2. 地形モデル： 対象とする地形は図-1の上に示すようは、一次谷の斜面の中でさらに微地形の次谷であり、これを下図のようにモデル化する。基岩の上にあら表層中に、図のようは三角錐の形で中間流が発生するものとし、崩壊は基岩との境界で発生するものとする。

3. 安定解析モデル： 斜面安定解析には、すべり面を予め設定し、すべり土塊内では土塊の相対変位はないものと仮定した限界平衡法を適用した。すべり面は円弧すべりとした。この解析法の代表的手法は簡便分割法であるが、この方法は横方向の一様性と仮定し一次元的取扱いをしていてために、崩壊の横方向の規模・形状を推定することができない。しかし、図-1のように横方向の水深分布を与え、さらにすべり面側面の粘着力を考慮に入ることにより、この簡便分割法の概念を用いた崩壊の規模の推定が行えるようになる。

(1) 簡便分割法における式(図-2参照)

$$F_s = \frac{1}{\sum_i w_i \cdot \sin d_i} \sum_i [c' l_i + (w_i \cdot \cos d_i - u_i \cdot l_i) \tan \phi'] \quad \text{--- (1)}$$

ここで、 F_s : 安全率、 c' : 粘着力、 ϕ' : 摩擦角、 w_i : 帯片 i に働く重力、 l_i : 帯片 i のすべり面長、 d_i : 帯片 i のすべり面と水平面との角度、 u_i : 帯片 i に働く摩擦係数、但し $u_i = h \cdot \mu_i$ 、 h は図-2において等ポテンシャル線が帯片中のすべり面と水面とに交わる点の鉛直距離、 μ_i は水の単位重量、である。

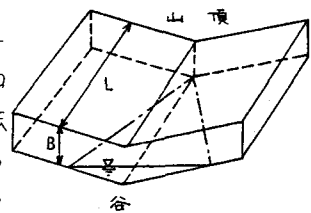
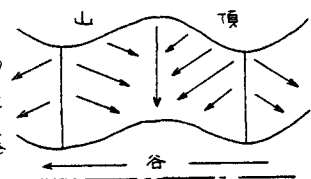


図-1 地形モデル

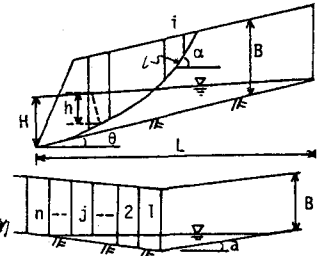


図-2 安定計算モデル

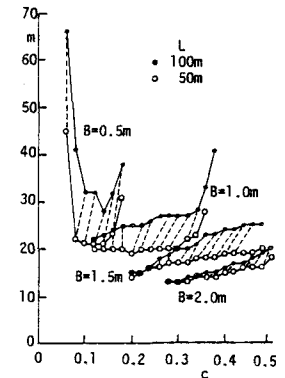
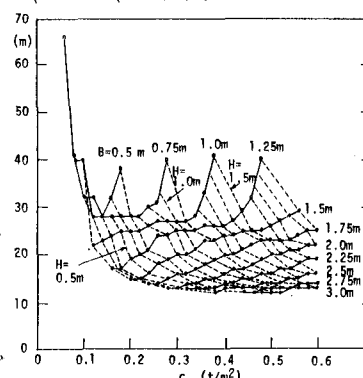
(2) 側方の粘着力を考慮した式

$$A_j = \sum_i [c' l_i + (w_i \cdot \cos d_i - u_i \cdot l_i) \tan \phi']$$

$$B_j = \sum_i (w_i \cdot \sin d_i)$$

$$F = \frac{\sum_i A_j + S_i \cdot c'}{\sum_i B_j} \quad \text{--- (2)}$$

ここで、 F : 安全率、 A_j : 図-2の下図における横方向分割片 j における側面粘着力を考慮した時の最小 F 時の(1)式の分子、 B_j : 同じくこの時の分母、 S_i : 横方向分割片 i における側面粘着力 $S_i \cdot c'$



以上の前記最小 F 時のすべり円弧の側面積、で図-3 簡便分割法による崩壊長 L と c' の関係ある。すなはち、この方法は各々の横方向分割片に相当する水深を与える。①式の簡便分割法に側面粘着力 $S_i \cdot c'$ を入めて最小安全率を求め、その時の分子の値から $S_i \cdot c'$ を引いた値(①式の分子に相当)を A_j 、分母の値を B_j とする。 $S_i \cdot c'$ を引いておくのはすべり土塊内ごく側面粘着力を2重に計算しないためである。すべり面側面積は $= ?$

の場合が常に最大値を与えるので、これを S_1 として②式の分子の最後に加えておく。 $\beta=1$ から始め、順次③式の計算を行い、下くじた。たゞとも、て横方向崩壊規模とする。

4. 解析結果： 実際の計算では、すべり面は斜面下端で基岩との境界に接するとハク仮定を設けた。このように仮定すれば限界平衡法の正しい適用とは言えないが、全体としての傾向把握のために簡単な方法とした。

(1) 一次元解析結果： 図-4は斜面長 $L=100\text{ m}$ の場合の①式に基づいた、粘着力 c' と崩壊の継長 s との関係を示したものである。実線は等しい層厚を結んだものであり、破線は等しい水深を結んだものである。ここで他の定数は $\phi = 30^\circ$ 、土の単位飽和重量 $\gamma_{sat} = 1.92 \text{ t/m}^3$ 、斜面勾配 $\theta = 35^\circ$ を用いてい。同じ c' に対しては層厚が厚くほど崩壊の長さは短く、またその時の中间流水分深は小さくなることがわかる。ある層厚について、崩壊長さが急激に大きくなる点は中间流水分深が層厚に等しくなった時に相当する。表面流が発生すると崩壊の発生形態は異なり、そこにはずつであるから、これ以後の計算結果は現実との対応を欠くと思われる。図-4は $L=100\text{ m}$ と $L=50\text{ m}$ の場合の比較である。破線は同様に等しい水深の点を結んだものである。斜面長が短かいほど、崩壊の長さも短くなることがわかる。

(2) 二次元解析結果： 図-5はすべり面側面に粘着力を考慮した③式に基づいて計算を行った結果を、粘着力 c' と $\beta=1$ 分割片の崩壊長さ s へ換算して示したものである。これは①式の斜面勾配は $1/10$ (5.7°) であり、他の定数は図-3の場合と同じものを用いてい。但し、 c があることによって生ずる力は無視している。計算量が膨大となるため解析 CASE は少ないが、図-5の傾向は図-3のものと同様の傾向である。また斜面長 $L=100\text{ m}$ 、 50 m の比較についても図-4と同様の傾向である。図-4と図-5から同じ層厚のものを抜き出し比較を行ったものが図-6である。○印は図-4に、△印は図-5のものに対応する。破線は同じ水深の点を結んだものである。中间流水分深が表層厚さと越えるまでは、同じ c' に対しては側面の粘着力を考慮した方が崩壊長さは短かいが、その後の水深は多く必要となることがわかる。図-7は、図-5の場合の崩壊の幅と粘着力 c' との関係を示したものである。層厚が厚くほど、崩壊の幅が大きくなることがわかる。なお、結果が 1 m 間隔となるているのは横方向のマーカーを 1 m としたことによるものである。以上の結果を二次元形状で示したもののが図-8である。

層厚 0.5 、 1.0 、 2.0 m の各場合について c' に対する変化を示したものである。左半分は $L=100\text{ m}$ 、右半分は $L=50\text{ m}$ の場合である。 c' が小さくなると当然崩壊の規模も小さくなる。また、層厚が薄いほど細長い形状となり、層厚が厚くなると長さは短かく、幅は大きくなるという、これまでの災害調査の結果とも矛盾しない結果が得られる。

5. まとめ： 地形にあら条件を与え、すべり面の側面に粘着力を考慮することによって崩壊の現象へ推定が行えるようにしてみたが、今後は、すべり面の仮定の検討を行いたい。これらに、①次元の分布等を考慮して崩壊土量の推定を行いたい。

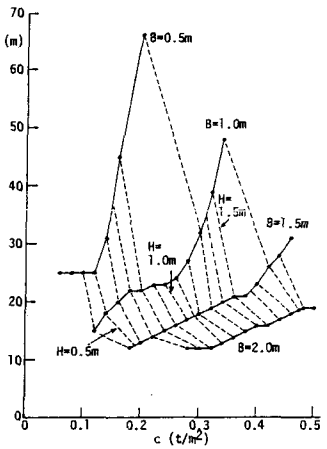


図-5 傾斜面粘着力を考慮した崩壊長さとの関係

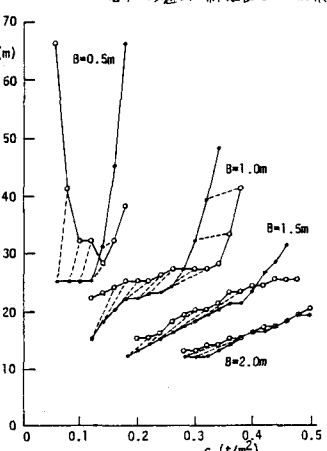


図-6 ①式と③式による崩壊長さの比較

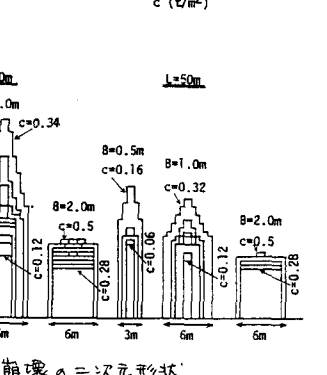
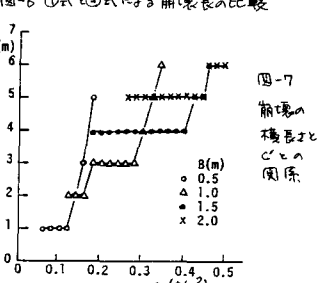


図-8 崩壊の二次元形状